

## تحلیل فراوانی دبی سیلاپ براساس شبیه‌سازی مدل بارش-رواناب و توزیع‌های آماری

بهرام ثقفیان<sup>۱</sup>، علیرضا قاسمی<sup>۲\*</sup>، سعید گلیان<sup>۳</sup>

۱. استاد دانشگاه آزاد اسلامی واحد علوم و تحقیقات

۲. کارشناس ارشد فنی، شرکت آب منطقه‌ای تهران

۳. استاد یار دانشگاه صنعتی شهرورد

(تاریخ دریافت: ۱۳۹۱/۴/۴ - تاریخ تصویب: ۱۳۹۲/۱/۲۶)

### چکیده

تحلیل فراوانی سیلاپ روشی برای بهدست آوردن سیلاپ طراحی سازه‌های هیدرولیکی در یک رودخانه است. در این روش بزرگی سیل به فراوانی وقوع آن با استفاده از توابع توزیع آماری مرتبط می‌شود. دقت برآورد سیلاپ به عواملی چون انتخاب توزیع‌های احتمالاتی مناسب و تخمین پارامترهای آن، دوره‌های آماری در دسترس، خطای معمول در اندازه‌گیری‌ها، وجود مقادیر پرت بستگی دارد. بزرگی سیل را با روش مدل‌سازی هیدرولوژیک نیز می‌توان شبیه‌سازی کرد. عدم قطعیت ناشی از ساختار مدل‌های هیدرولوژیکی و فرضیات به کاررفته در آن‌ها و عدم قطعیت در مقادیر ورودی و پارامترهای مدل‌ها از عواملی است که بر خروجی مدل‌ها تأثیر می‌گذارد. در این تحقیق، تحلیل فراوانی سیل در حوضه تنگرآه با استفاده از روش هیدرولوژیک انجام شد و نتایج با روش آماری، با استفاده از داده‌های مشاهداتی، مقایسه گردید. بدین منظور، مقدار میانگین حوضه‌ای بارش طراحی در تداوم و دوره‌های بازگشت مختلف محاسبه شد. سپس، با استفاده از روش مونت کارلو، عدم قطعیت عامل توزیع مکانی و شرایط رطوبتی پیشین خاک در مدل بارش-رواناب (HEC-HMS) شبیه‌سازی شد. ترکیب‌های مختلفی از عمق و توزیع مکانی بارش و همچنین شرایط رطوبتی خاک، بهمنزله ورودی مدل، استفاده شد و دبی اوج سیلاپ با دوره‌های بازگشت مختلف محاسبه گردید. در روش تحلیل فراوانی آماری سیلاپ نیز با استفاده از توزیع‌های احتمالاتی منتخب، براساس آزمون نکویی برازش اندریسن — دارلینگ، مقدار دبی اوج سیلاپ محاسبه شد. نتایج نشان داد بارش‌های پرت تأثیر فراوانی بر نتایج شبیه‌سازی بارش-رواناب دارد و میزان این تأثیر با افزایش دوره بازگشت افزایش می‌یابد؛ مثلاً در نتایج شبیه‌سازی با احتمال ۵۰ درصد و بارش با تداوم ۶ ساعت و دوره بازگشت ۲۰۰ سال، پس از حذف مقدار پرت، مقدار سیلاپ از ۱۲۹۷ به ۳۳۸ متر مکعب بر ثانیه کاهش یافت. توزیع مکانی بارش و شرایط رطوبتی پیشین خاک در مقدار سیلاپ، بهویژه در دوره‌های بازگشت کم، بسیار مؤثر است. نتایج تحلیل فراوانی در اکثر موارد از نتایج مدل‌سازی هیدرولوژیک بیشتر است؛ به طوری که برای دوره بازگشت ۲۰۰ سال نتایج مدل‌سازی هیدرولوژیک ۳۰/۴ درصد از نتایج تحلیل فراوانی کمتر است. انتخاب نامناسب توزیع‌های آماری در افزایش مقدار اختلاف نقش مهمی دارد.

### کلیدواژگان

توزیع مکانی، عدم قطعیت، مدل‌سازی هیدرولوژیک، مونت کارلو.

Singh (1993)، Hosking and Wallis (1998)، Rao and Hamed (1998)، Griffis (2000)، و Stedinger (2007) با بررسی جامع تحلیل فراوانی سیالاب تأکید کردند که احتمال وقوع سیالاب حدی یک برونویابی براساس داده‌های محدود است و هر چه اندازه نمونه بیشتر باشد صحت برآوردها مناسب‌تر خواهد بود.

Onoz and Bobee et al. (1993) و Bayazit (1995)، ضمن استفاده از تحلیل فراوانی سیل، دریافتند موقعی که داده‌های سیالاب کم باشد برای انتخاب و تمیز توابع توزیع احتمالاتی از یکدیگر مشکل جدی پیش می‌آید.

نکته بسیار مهم در تحلیل فراوانی سیالاب‌ها عدم قطعیت و عدم اطمینان نسبت به دوره‌های سیالاب متوسط و بزرگ است؛ که عموماً با برونویابی منحنی‌های دبی - اشل به دست می‌آیند. بنابراین، تحلیل فراوانی سیالاب‌ها به شدت متأثر از نحوه اندازه‌گیری تراز و تبدیل آن‌ها به مقادیر دبی متناظر است. این در حالی است که اندازه‌گیری بارش‌های حدی، که مستقیم انجام می‌شود، با عدم قطعیت کمتری روبروست. بنابراین، تبدیل بارش‌های حدی به سیالاب‌های حدی به کمک مدل‌های بارش-رواناب می‌تواند عدم قطعیت آن‌ها را در دوره‌های سیالاب‌های بزرگ ثبت‌شده کاهش دهد. مدل‌های بارش - رواناب نیز یکی دیگر از روش‌های برآورد رواناب و ابرازی مناسب برای مطالعه فرایندهای هیدرولوژیک و ارزیابی منابع آبی است (Lang et al,1999). تأثیرپذیری از عوامل غیر قطعی دخیل در رفتار پدیده‌های طبیعی، عدم قطعیت ناشی از ساختار مدل و فرضیات به کارفته در آن، عدم قطعیت مقادیر حدی، و پارامترهای مدل از عواملی است که بر خروجی مدل تأثیر می‌گذارد (Maskey, 2004). بارش، به مثابة مهم‌ترین و مؤثرترین ورودی مدل‌های بارش - رواناب، توزیع مکانی و زمانی متغیری دارد. عمدۀ روش‌های بررسی عدم قطعیت در مدل‌های بارش - رواناب بر

## مقدمه

سیالاب یکی از بزرگ‌ترین بلایای طبیعی است که خسارت واردہ از آن به انسان از سایر بلایا، نظیر خشک‌سالی و قحطی، بیشتر است (Pielke et al, 2002). با توجه به اینکه حفاظت کامل در برابر خطر سیالاب امکان‌پذیر نیست (Moore and Palmer, 2005). زیستن در کنار آن و اعمال سیاست‌های جدید، به منظور کاهش آثار تخریبی آن، ضروری است. تخمین دبی سیالاب و برآورد دوره بازگشت پیشامدهای نادر، از جمله سیالاب‌ها و باران‌های حدی در محل پژوهه‌های آبی، یکی از عوامل بسیار مهم طراحی است (Hosking and Wallis, 1993).

تعیین دوره بازگشت سیل طراحی به طبیعت پژوهه و پیامدهای سیالاب بستگی دارد و براساس معیارهای اقتصادی تلفات انسانی و عوامل هیدرولوژیک انجام می‌گیرد. برآورد دست پایین ممکن است خسارات جانی و مالی وسیع به بار آورد و برآورد دست بالا باعث اتلاف سرمایه می‌شود. هیدرولوژیست‌ها مطالعات گسترده‌ای جهت ابداع روش‌های مناسب برآورد سیالاب‌ها و تجزیه و تحلیل آن‌ها انجام می‌دهند.

در تحلیل فراوانی سیالاب به روش آماری، از توابع توزیع آماری، جهت تعیین مقدار متغیر به‌ازای احتمالات مختلف، استفاده می‌شود. پارامترهای توزیع‌های آماری از نمونه‌ها برآورد می‌شوند. بنابراین، وجود خطا در نمونه‌ها بر نتایج برآورد پارامترها تأثیر می‌گذارد. طول سری آماری کوتاه یا داده مفقود نیز موجب بروز عدم قطعیت برونویابی برآورد سیالاب با روش‌های آماری مرسوم می‌گردد. برآوردهای حاصل از نمونه‌های کوچک سیل می‌تواند عامل‌های نامعمول یا غیر واقعی داشته باشد. چنانچه در اثر تخریب ایستگاه آبسنجی در جریان یک سیالاب بزرگ داده‌ها مفقود گردد، عدم برآورد داده مفقود می‌تواند لطمۀای مهم به دقت تحلیل فراوانی وارد آورد (Hemady et al,2007).

دوره‌های بازگشت معین با استفاده از مدل بارش-رواناب انجام شد و نتایج به دست آمده با تحلیل فراوانی آماری مقایسه گشت.

## مواد و روش‌ها

### منطقه تحقیق

حوضه آبخیز تنگراه با مساحتی در حدود ۱۷۹۶ کیلومتر مربع در جنوب شرقی دریای خزر قرار دارد. این منطقه در دامنه شمالي سلسله جبال البرز شرقی و بين طول‌های جغرافیایی  $۵۵^{\circ}۳۶'$  تا  $۵۶^{\circ}۲۶'$  شرقی و عرض‌های جغرافیایی  $۳۶^{\circ}۴۷'$  تا  $۳۷^{\circ}۲۷'$  شمالی واقع است. حوضه تنگراه براساس توپوگرافی و شبکه آبراهه‌ها به شش زیرحوضه کوچک‌تر - به نام‌های چشم‌خان، دشت شیخ، قیزلقلعه، نردهین، دشت، تنگراه- تقسیم می‌شود. شکل ۱ موقعیت زیرحوضه‌ها و شبکه آبراهه‌ای این حوضه را نشان می‌دهد. برخی خصوصیات زیرحوضه‌ها در جدول ۱ آمده است.

برای محاسبه زمان تمرکز از رابطه کریج (رابطه ۱) استفاده شد که در آن  $T_c$  زمان تمرکز بر حسب ساعت،  $L$  طول مسیر حرکت آب در داخل حوضه بر حسب کیلومتر، و  $H$  معادل اختلاف ارتفاع بلندترین و پست‌ترین نقطه زیرحوضه است.  
(Alizadeh, 2006)

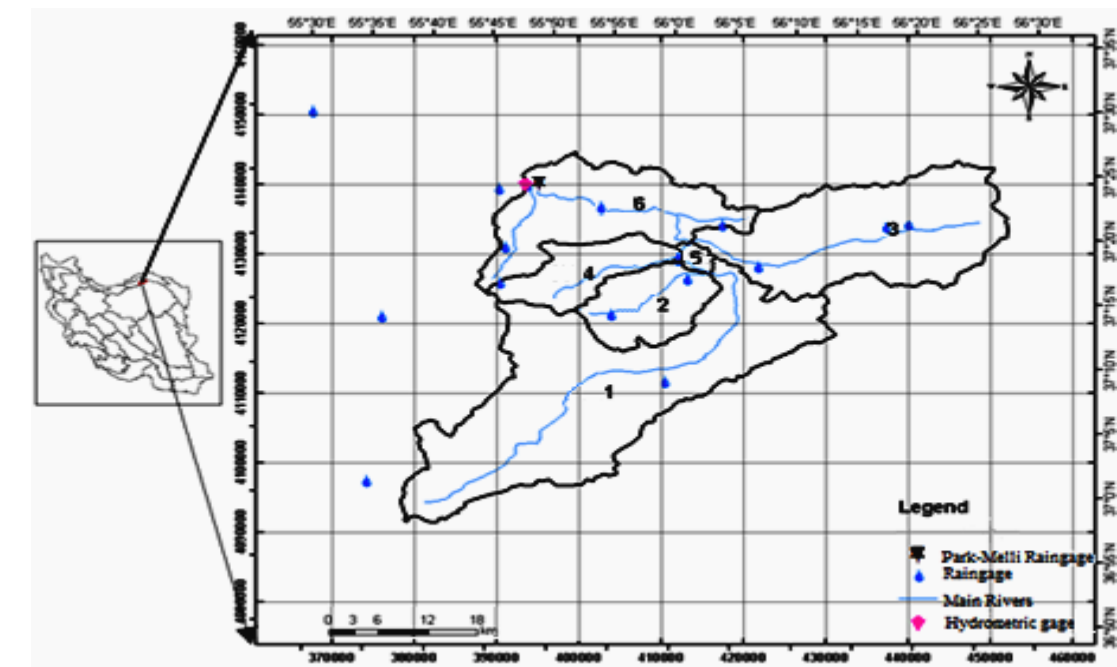
$$T_c = 0.949 * \left( \frac{L^3}{H} \right)^{0.385} \quad (\text{رابطه ۱})$$

پایه شبیه‌سازی مونت کارلو استوار است. روش مونت کارلو الگوریتمی محاسباتی است که از نمونه‌گیری تصادفی برای محاسبه نتایج استفاده می‌کند. به عبارت دیگر، این روش یک طبقه از الگوریتم‌های محاسبه‌گر است که برای محاسبه نتایج خود بر نمونه‌گیری‌های تکرارشونده تصادفی اتکا می‌کند.

(Rahman et al. 2002) در تحقیقات خود در استرالیا به این نتیجه رسیدند که روش مونت کارلو یک روش تئوریک در برآورد دامنه سیلاب طراحی است و برای حوضه‌های دارای داده‌های باران‌نگاری مناسب قابلیت کاربردی خوبی دارد. Beran (1973)، Bloschl (1995) Muzik (1993) Durrans (1995) و Sivapalan (1997) روش شبیه‌سازی مونت کارلو را برای تعیین توزیع سیلاب به کار برندند. نتایج متفاوت توزیع‌های احتمالاتی در برآورد سیلاب با دوره‌های بازگشت مختلف و قابل اعتماد نبودن نتایج این توزیع‌ها در برآورد سیلاب‌های بازگشت بالا با استفاده از تحلیل داده‌های آماری کوتاه‌مدت یا حصول نتایج نادرست در صورت وجود داده مفقود در سری آماری صحت سیلاب پیش‌بینی شده از روی آمار کوتاه‌مدت را با تردید مواجه می‌سازد. درنتیجه، استفاده از مدل‌های بارش—رواناب جهت برآورد سیلاب با دوره‌های بازگشت مختلف می‌تواند روشی جایگزین یا مکمل باشد. در این تحقیق ضمن بررسی عدم قطعیت توزیع مکانی بارش و همچنین شرایط رطوبتی پیشین خاک حوضه، پیش‌بینی سیلاب با

جدول ۱. برخی خصوصیات زیرحوضه‌ها در حوضه مورد تحقیق

زمان تمرکز (ساعت)	طول رودخانه اصلی (km)	شیب متوسط (%)	ارتفاع متوسط (m)	مساحت (km²)	زیرحوضه
۶/۵	۴/۷۲	۱۴/۱۵	۱۴۹۸	۷۵۴/۳	نردهین (۱)
۲/۲	۳/۲۳	۱۳/۱۴	۱۲۸۳	۱۴۴/۳	دشت شیخ (۲)
۴/۲	۴/۴۸	۱۴/۸۶	۱۴۷۳	۴۵۱/۸	چشم‌خان (۳)
۲/۳۲	۹/۲۷	۱۸/۳۶	۱۴۴۶	۱۲۵/۷۳	قیزلقلعه (۴)
۰/۸	۱/۸	۱۱/۷۸	۱۰۵۶	۱۳/۰۹	دشت (۵)
۲/۲۸	۷/۳۶	۳۶/۱۳	۱۲۸۲	۳۰۶/۸۸	تنگراه (۶)



شکل ۱. موقعیت زیرحوضه‌ها و شبکه آبراهه‌ای حوضه تنگ راه

## روش تحقیق

برآورد دبی سیلاب به دو روش شبیه‌سازی بارش-رواناب و استفاده از تحلیل فراوانی آماری انجام می‌شود. در روش شبیه‌سازی بارش-رواناب ابتدا حداقل بارش روزانه برای منطقه برای سال‌های دوره آماری انتخاب شد. سپس، بارش‌های پرت تعیین و تأثیر آن‌ها بر منحنی‌های شدت-مدت-فراوانی بگانه ایستگاه ثبات منطقه (ایستگاه پارک ملی) بررسی شد. تحلیل عدم قطعیت توزیع مکانی بارش و استخراج منحنی‌های شدت-مدت-فراوانی حوضه‌ای در گام بعدی انجام گرفت. بارش‌های طراحی و شرایط رطوبتی پیشین خاک تعیین و در نهایت شبیه‌سازی با ترکیب‌هایی متفاوت از عمق بارش و توزیع مکانی آن و همچنین شرایط رطوبتی خاک به‌وسیله مدل بارش-رواناب واسنجی‌شده مدل آمده است.

### از دو روش مقایسه شد.

#### مدل بارش-رواناب

در این تحقیق، به‌منظور شبیه‌سازی وقایع بارش-رواناب در حوضه مورد مطالعه از مدل HEC-HMS واسنجی‌شده توسط گلیان و همکاران استفاده شد (Golian et al, 2010). در این مدل، تلفات با روش گرین و آمپت، یعنی تبدیل بارش به رواناب با هیدروگراف واحد کلارک، و روندیابی جریان در رودخانه با روش ماسکینگام شبیه‌سازی شد. واسنجی و اعتبارسنجی مدل با استفاده از وقایع بارش و رواناب ایستگاه‌های منطقه و انتخاب رویدادهای بارش و سیلاب متناظر انجام پذیرفت. در جدول ۲ پارامترهای واسنجی‌شده مدل آمده است.

#### تحلیل عدم قطعیت توزیع مکانی بارش

در حوضه مورد تحقیق، با توجه به عدم قطعیت در توزیع مکانی بارش‌ها در ورودی مدل و به‌منظور تعیین سهم بارش هر یک از زیرحوضه‌ها در تولید رواناب، با استفاده از تعداد معین وقایع بارش (۱۰۷ واقعه)، میزان

جدول ۲. پارامترهای واسنجی شده مدل HEC-HMS (Golian et al, ۲۰۱۰)

میانگین ارتفاع موئینگی Hf (mm)	هدایت هیدرولیکی K (mm/hr)	زمان تمرکز (ساعت)	جذب اولیه Ia (mm)	زیر حوضه
۱۱۵	۳/۲۵	۶/۵	۲۰/۶	نردن
۱۰۸	۳/۵	۲/۱	۲۲/۹	دشت شیخ
۹۷	۴/۷۵	۴/۲	۲۷/۴	چشمه خان
۱۰۴	۳/۷۵	۲/۳	۲۳/۲	قیزلعله
۸۴	۶/۵	۰/۷	۳۰/۸	دشت
۹۰	۷/۰	۲/۹	۳۲/۹	تنگره

دوره آماری مشاهده نشد، این حالت رطوبتی از تحلیل‌ها حذف گردید.

### بارش‌های طراحی

در حوضه تحقیق فقط یک ایستگاه باران‌نگاری ثابت وجود دارد. بنابراین، امکان استخراج توزیع مکانی بارش‌های کوتاه‌مدت در سطح حوضه وجود ندارد. به همین دلیل، به منظور استخراج منحنی‌های شدت-مدت—فراوانی میانگین حوضه‌ای، ابتدا تحلیل‌های مکانی روی بارش‌های روزانه انجام گرفت. با استفاده از حداقل بارش روزانه ایستگاه‌های باران‌سنجدی واقع در داخل و اطراف حوضه و با استفاده از روش IDW، پراکنش مکانی بارش در سطح حوضه تعیین و مقدار متوسط بارش در حوضه محاسبه شد. سپس، بهترین توزیع آماری برای بارش‌های میانگین حوضه‌ای تعیین و مقدار حداقل بارش روزانه با دوره‌های بازگشت مختلف محاسبه شد. با توجه به نتایج آزمون‌های آماری و تعیین یک عدد داده پرت مربوط به بارش ۲۱ مردادماه ۱۳۸۰ (۱۰۸ میلی‌متر)، یک بار این داده از بین سری آماری بارش حذف و نسبت به برآذش توزیع آماری اقدام شد و یک بار نیز مقدار این بارش در محاسبات در نظر گرفته شد.

برای حذف داده‌های پرت از آزمون اوت لایر<sup>۳</sup>، ارائه شده از سوی انجمن منابع آب امریکا، استفاده شد. نتایج در جدول ۳ آمده است.

### 3. Outlier

بارش میانگین در هر زیرحوضه و در کل زیرحوضه‌ها، با استفاده از روش<sup>۱</sup> IDW، محاسبه و با تقسیم بارش میانگین هر زیرحوضه بر بارش میانگین کل عدد بارش بدون بعد برای هر واقعه محاسبه شد. بنابراین، به تعداد و قایع بارش عدد بدون بعد بارندگی برای هر زیرحوضه به دست آمد. سپس، بهترین توزیع احتمالاتی روی بارش‌های بدون بعد به دست آمده برای هر زیرحوضه برآذش داده شد. در گام بعد و جهت تعیین سهم بارش هر زیرحوضه از بارش میانگین تعداد ۱۰۰۰ سری اعداد تصادفی (به تعداد زیرحوضه‌ها) تولید شد. اعداد تصادفی تولید شده در هر زیرحوضه، با توجه بهتابع توزیع احتمال تجمع<sup>۲</sup> (CDF) آن زیرحوضه و پارامترهای برآورد شده توزیع مذکور، به بارش بدون بعد تبدیل شد. در مرحله بعد اعداد بارش بدون بعد دوباره وزن دهی گردید؛ به طوری که  $\frac{\sum W_i A_i}{\sum A_i} = 1$  شود. در این رابطه  $W_i$  بارش بدون بعد زیرحوضه  $i$ -ام پس از وزن دهی و  $A_i$  مساحت زیرحوضه  $i$ -ام است. با توجه به فراوانی نسبی شرایط رطوبت پیشین خاک قبل از وقوع حداقل بارش‌های روزانه هر سال در طول دوره آماری (۱۳۸۶ تا ۱۳۴۸)، تعداد ۱۰۰۰ سری اعداد تصادفی بدون بعد بارش برای اجرای مدل تحت شرایط رطوبتی خشک و ۹۹ سری جهت اجرا تحت شرایط متوسط تولید شد. با توجه به اینکه شرایط رطوبتی مرتبط در

1. Inverse Distance Weighted

2. Cumulative Distributions Function

اکنون، با انتقال این مقادیر روی منحنی‌های شدت - مدت - فراوانی نقطه‌ای ایستگاه پارک ملی (یگانه ایستگاه ثبات دارای آمار کوتاه‌مدت حوضه) و مقایسه آن‌ها با یکدیگر، نسبت شدت بارش روزانه حوضه‌ای به شدت بارش روزانه نقطه‌ای برای دوره‌های بازگشت مختلف مطابق رابطه ۲ محاسبه می‌شود.

$$\alpha_d = \frac{(I_d)_w}{(I_d)_p} \quad (\text{رابطه } 2)$$

جدول ۳ نشان می‌دهد، پس از حذف بارش پرت، مقدار بارش برای دوره‌های بازگشت ۲۰۰ سال به میزان  $34/3$  میلی‌متر، معادل  $36/6$  درصد، و برای دوره بازگشت ۱۰۰ سال به مقدار  $24/4$  میلی‌متر، معادل  $31/8$  درصد، نسبت به تحلیل فراوانی قبل از حذف بارش پرت کاهش نشان می‌دهد. با افزایش دوره بازگشت، درصد کاهش مقدار بارش روند افزایشی دارد.

جدول ۳. محاسبه بارش روزانه در دوره‌های بازگشت معین

درصد تفاوت	مقدار بارش ۲۴ ساعته (میلی‌متر)		دورة بازگشت (سال)	ردیف
	داده‌ها بدون بارش پرت	داده‌ها با بارش پرت		
۱۴/۶	۱۷/۵	۲۰/۶	۲	۱
۱۵/۵	۲۱/۲	۲۵/۱	۳	۲
۱۶/۳	۲۵/۶	۳۰/۶	۵	۳
۱۸/۷	۳۱/۴	۳۸/۶	۱۰	۴
۲۲	۳۹/۴	۵۱/۲	۲۵	۵
۲۷/۱	۴۵/۷	۶۲/۷	۵۰	۶
۳۱/۸	۵۲/۴	۷۶/۸	۱۰۰	۷
۳۶/۶	۵۹/۵	۹۳/۸	۲۰۰	۸

تنگر راه زیر منحنی‌های ایستگاه پارک ملی قرار گرفته‌اند؛ که علت آن کمتر بودن میانگین بارش در سطح حوضه نسبت به بارش در محل پارک ملی گلستان است. بدین ترتیب مقادیر شدت بارش حوضه‌ای با دوره‌های بازگشت مختلف برای تداوم‌های مختلف در دو حالت با و بدون حذف داده پرت محاسبه شد (جدول ۴).

### رطوبت پیشین خاک

به منظور بررسی شرایط قبلی رطوبت خاک، مجموع بارش ۵ روز قبل از تاریخ وقوع حداکثر بارش روزانه ایستگاه‌های باران‌سنگی، واقع در داخل و اطراف حوضه در طول دوره آماری (۱۳۸۶ تا ۱۳۴۸) محاسبه شد و میانگین مکانی آن‌ها با روش IDW به دست آمد.

در رابطه فوق  $(I_d)_w$  حداکثر شدت بارش روزانه حوضه‌ای (حوضه تنگر راه)،  $(I_d)_p$  حداکثر شدت بارش روزانه نقطه‌ای (ایستگاه پارک ملی)، و  $\alpha_d$  ضریبی است که جهت محاسبه شدت بارش حوضه‌ای در تداوم‌های مختلف به کار می‌رود. با استفاده از ضریب به دست‌آمده از رابطه ۲، شدت بارش حوضه در تداوم‌های مختلف از رابطه ۳ محاسبه و نتایج به دست‌آمده جهت استخراج منحنی شدت - مدت - فراوانی حوضه‌ای استفاده شد.

$$(I_t)_w = \alpha_d \times (I_t)_p \quad (\text{رابطه } 3)$$

که در آن حداکثر شدت بارش با تداوم  $t$  ساعت حوضه تنگر راه،  $(I_t)_p$  حداکثر شدت بارش با تداوم  $t$  ساعت ایستگاه پارک ملی،  $\alpha_d$  نسبت بارش روزانه حوضه تنگر راه به بارش روزانه ایستگاه پارک ملی از رابطه ۲ است. مقایسه منحنی‌های ایستگاه پارک ملی گلستان و حوضه تنگر راه نشان می‌دهد منحنی‌های حوضه

جدول ۴. نتایج محاسبه بارش حوضه‌ای در دو حالت با و بدون حذف داده پرت

دوره بازگشت (سال)							شدت بارش (میلی‌متر)	تداوم (ساعت)
۲۰۰	۱۰۰	۵۰	۲۵	۱۰	۵	۲	نقطه‌ای حوضه‌ای با پرت حوضه‌ای بدون پرت	۴
۴۴/۵	۳۹/۲	۳۳/۹	۲۸/۵	۲۱/۲	۱۵/۴	۶/۸		
۲۶/۱	۲۱/۳	۱۷/۶	۱۴/۹	۱۲/۲	۱۰/۲	۵/۴		
۱۶/۵	۱۴/۵	۱۲/۸	۱۱/۴	۹/۹	۸/۸	۵		
۳۶/۶	۳۲/۳	۲۷/۹	۲۳/۵	۱۷/۶	۱۲/۹	۵/۸		
۱۶/۴	۱۳/۸	۱۱/۶	۹/۹	۸/۳	۷/۹	۵/۸		
۱۰/۶	۹/۵	۸/۶	۷/۷	۷/۲	۷	۵/۳	حوضه‌ای بدون پرت	۵
۲۳	۲۰/۳	۱۷/۷	۱۵	۱۱/۴	۸/۵	۴/۲	نقطه‌ای	۶
۱۳/۹	۱۱/۷	۹/۸	۸/۳	۷	۶/۸	۴/۵	حوضه‌ای با پرت	
۸/۹	۸/۰	۷/۳	۶/۴	۵/۹	۵/۷	۴/۲	حوضه‌ای بدون پرت	
۲۲/۴	۱۹/۸	۱۷/۲	۱۴/۶	۱۱	۸/۲	۴	نقطه‌ای	۷
۱۲/۱	۱۰/۱	۸/۵	۷/۲	۶	۵/۵	۳/۷	حوضه‌ای با پرت	
۷/۸	۷	۶/۳	۵/۶	۵/۱	۴/۸	۳/۳	حوضه‌ای بدون پرت	
۲۰/۹	۱۸/۵	۱۶	۱۳/۶	۱۰/۲	۷/۵	۳/۶	نقطه‌ای	۸
۱۰/۷	۸/۹	۷/۵	۶/۴	۵/۲	۴/۸	۳/۱	حوضه‌ای با پرت	
۶/۶	۶/۱	۵/۶	۴/۹	۴/۴	۴/۲	۲/۸	حوضه‌ای بدون پرت	

سیلاب حوضه تنگراه توزیع لوگ پیرسون تیپ سه، از بین توزیع‌های متداول آماری، توزیع غالب منطقه Water Research Institute of معرفی شده است (iran, 2009). در آن تحقیق، با بررسی دبی اوج لحظه‌ای ثبت شده در ایستگاه هیدرومتری تنگراه در طول سال‌های آماری، دبی اوج سیل سال آبی ۱۳۷۹-۱۳۸۰، با مقدار ۱۶۵ متر مکعب بر ثانیه، داده پرت تشخیص داده شد. بنابراین، تحلیل فراوانی آماری در دو حالت با و بدون این داده پرت انجام گرفت. با استفاده از آزمون نکوبی برازش اندرسون - دارلینگ (Laio et al, 2009)، توزیع آماری مناسب برای داده‌های سیلاب برای حالت‌های بدون سیلاب پرت و با سیلاب پرت، به ترتیب، توزیع‌های Generalized Pareto و Burr تعیین گردید. به منظور برآورد پارامترهای توزیع‌های آماری از نرم افزار Easyfit استفاده شد که در آن از روش تخمین حداقل درستنمایی (MLE) بدین منظور استفاده می‌شود. نتایج تحلیل فراوانی سیلاب با توزیع‌های فوق در جدول ۶ آمده است.

سپس با روش SCS-CN (NEH, ۱۹۶۴) و با توجه به مقدار بارش ۵ روز قبل و فصل وقوع بارندگی، شرایط رطوبت پیشین خاک براساس جدول ۵ به یکی از گروههای خشک (AMC I)، متوسط (AMC II)، و مرطوب (AMC III) تقسیم شد.

نتایج نشان داد در فصل خواب گیاه در منطقه (آبان تا اسفند) ۸۰ درصد از مجموع بارش‌ها در شرایط رطوبتی خشک (AMC I) و ۲۰ درصد در شرایط رطوبتی متوسط (AMC II) قرار دارند. در حالی که ۱۰۰ درصد مجموع بارش‌ها در فصل رشد (فروردین تا پایان مهرماه) در شرایط رطوبتی خشک قرار گرفتند. بنابراین، با توجه به اینکه هیچ واقعه‌ای در شرایط مرطوب قرار نگرفت، این شرایط از تحلیل‌ها حذف شد و شرایط رطوبتی خشک و متوسط نیز با توجه به تناسب به دست آمده در مشاهدات تاریخی، در اجرای مدل و تحلیل‌ها استفاده شد.

## یافته‌ها و بحث

تحلیل فراوانی سیلاب با روش آماری در تحقیقات پیشین در زمینه تحلیل فراوانی داده‌های

جدول ۵. مقدار بارندگی در ۵ روز قبل از وقوع باران طرح

کلاس AMC	فصل خواب (میلی‌متر)	فصل رشد (میلی‌متر)
I	۱۲/۷<	۳۵/۵۶<
II	۲۷/۹۴....< <۱۲/۷	۵۳/۳۴....< <۳۵/۵۶
III	۲۷/۹۴>	۵۳/۳۴>

با توجه به جدول ۶ در نتایج تحلیل فراوانی با توزیع لوگ پیرسون نوع سه برای دوره بازگشتهای ۲۰۰ و ۱۰۰ سال، دبی سیلاب محاسبه شده، پس از حذف داده پرت، به ترتیب، به میزان ۵۲۷۶/۴ و ۲۰۱۷/۵ متر مکعب بر ثانیه کاهش داشت.

جدول ۶. نتایج تحلیل فراوانی سیلاب و نتایج دبی اوج لحظه‌ای حوضه تنگ راه

ردیف	دوره بازگشت (سال)	مقدار سیلاب (متر مکعب بر ثانیه)			
		بدون سیلاب پرت	با سیلاب پرت	بدون سیلاب (متراً)	با سیلاب (متراً)
۱	۲	۲۱/۰	۲۰/۲	۲۱/۴	۲۰/۸
۲	۵	۵۹/۴	۶۱/۹	۶۹/۳	۷۵/۶
۳	۱۰	۱۰۹/۵	۱۳۰/۴	۱۶۶/۰	۱۸۵/۹
۴	۲۵	۲۲۴/۹	۳۲۹/۷	۵۲۸/۰	۵۸۹/۴
۵	۵۰	۳۷۴/۴	۶۴۹/۱	۱۲۶۵/۰	۱۳۹۳/۴
۶	۱۰۰	۶۱۴/۶	۱۲۶۱/۸	۳۰۵۰/۰	۳۲۷۹/۲
۷	۲۰۰	۹۹۹/۹	۲۴۳۲/۳	۷۲۰۰/۰	۷۷۰۸/۷

تمامهای مختلف) و شرایط رطوبتی مختلف و براساس سهم توزیع مکانی تعیین شده برای هر یک از زیرحوضه‌ها، که به منزله ورودی به مدل معرفی گردیدند، اجرا شد و با استفاده از توزیع تجربی Weibull توزیع تجمعی درصد فراوانی سیلاب‌های خروجی با دوره‌های بازگشت مختلف حاصل از اجرای مدل محاسبه شد. شکل ۲ دامنه عدم قطعیت (احتمال) حداکثر دبی شبیه‌سازی شده را درباره یکی از ترکیب‌های ورودی فوق نشان می‌دهد. با توجه به دامنه عدم قطعیت نتایج، حد میانه این دامنه (احتمال ۰/۵۰) به منزله نتایج مدل‌سازی استفاده شد. براساس نتایج شبیه‌سازی بارش-رواناب برای تداومهای مختلف بارندگی (با احتمال ۰/۵۰)، مقادیر دبی اوج شبیه‌سازی شده برای تداوم ۴ ساعت نسبت به سایر تداومهای بارش بیشتر به دست آمد.

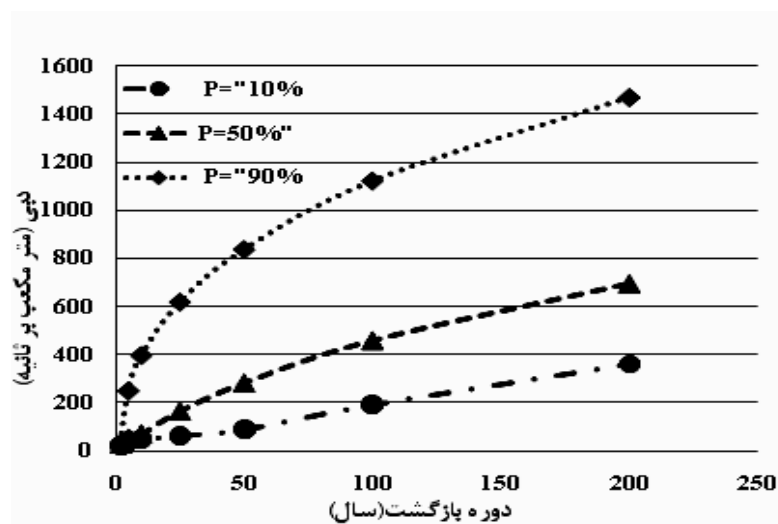
درباره نتایج تحلیل فراوانی با سایر توزیع‌های احتمالاتی نیز، پس از حذف داده پرت، سیلاب محاسبه شده برای دوره‌های بازگشت ۲۰۰ و ۱۰۰ سال، به ترتیب، معادل ۲۴۳۵ و ۶۲۰۰ متر مکعب بر ثانیه کاهش داشت. نتایج تحلیل فراوانی بدون حذف داده پرت در دوره‌های بازگشت بالا حتی از مقدار PMF منطقه (Heidarpour, 2007) نیز بیشتر است. لذا این نتایج پذیرفتی نیست و در تحلیل‌های بعدی داده‌های پرت هم از سیلاب‌ها و هم از بارش‌ها حذف می‌شود.

تحلیل فراوانی سیل با مدل‌سازی بارش-رواناب مدل HEC-HMS واسنجی شده برای ترکیب‌های متفاوتی از عمق بارش (با دوره‌های بازگشت و

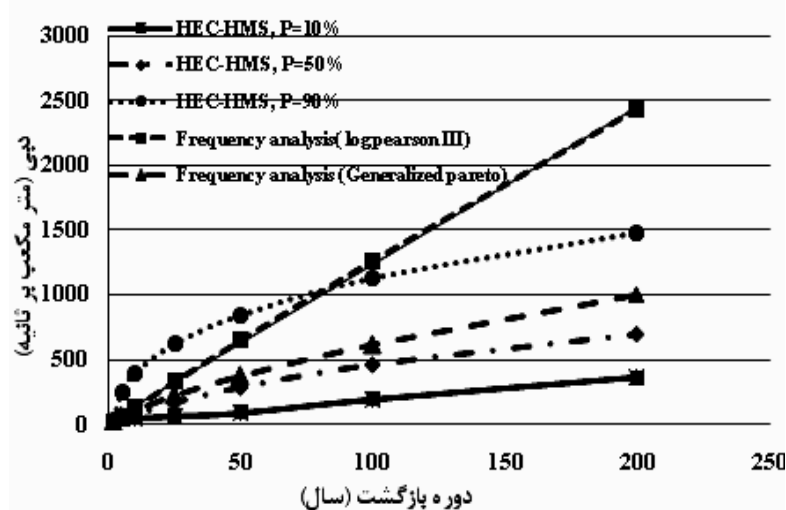
است. همان‌طور که ملاحظه می‌شود نتایج تحلیل فراوانی آماری با توزیع جنرال پارتو تطابق بیشتری با روش بارش-رواناب نسبت به توزیع لوگ پیرسون نوع سوم دارد؛ به‌طوری‌که نتایج توزیع جنرال پارتو در بیشتر موارد در دامنه احتمال عدم قطعیت شبیه‌سازی بارش-رواناب قرار می‌گیرد. درحالی‌که در اکثر موارد نتایج توزیع لوگ پیرسون، به‌ویژه در دوره‌های بازگشت بالا، خارج از این دامنه است.

### مقایسه نتایج تحلیل فراوانی شبیه‌سازی مدل بارش-رواناب با روش آماری

در شکل ۳ نتایج تحلیل فراوانی سیل با روش مدل بارش-رواناب، با احتمالات ۱۰ و ۵۰ و ۹۰ درصد، و روش آماری، با توزیع‌های لوگ پیرسون نوع سوم و جنرال پارتو، برای دوره بازگشت‌های مختلف آمده



شکل ۲. دامنه عدم قطعیت (احتمال) حداقل دبی شبیه‌سازی شده با دوره‌های بازگشت مختلف برای تداوم ۴ ساعت



شکل ۳. مقایسه نتایج شبیه‌سازی بارش-رواناب در تداوم‌های بارش ۴ ساعته با نتایج توزیع‌های احتمالاتی

داده‌های پرت بارش تأثیر زیادی بر نتایج شبیه‌سازی بارش - رواناب دارد و میزان این تأثیر با افزایش دوره بازگشت افزایش می‌یابد؛ مثلاً در نتایج شبیه‌سازی با احتمال ۵۰ درصد و برای بارش با تداوم ۶ ساعت و دوره‌های بازگشت ۵۰ و ۱۰۰ و ۲۰۰ سال، پس از حذف مقدار پرت، مقدار سیلاب از ۴۸۱ و ۸۲۸ و ۱۲۹۷ متر مکعب بر ثانیه به ۱۲۹ و ۲۰۹ و ۳۳۸ متر مکعب بر ثانیه کاهش یافت.

تأثیر توزیع مکانی بارش و شرایط رطوبتی پیشین خاک در محاسبه مقدار سیلاب با دوره‌های بازگشت مختلف بسیار چشمگیر است؛ مثلاً در شرایط رطوبتی خشک و برای تداوم بارش ۶ ساعت و دوره بازگشت ۱۰۰ سال، با توجه به سهم بارش هر زیرحوضه در الگوهای تصادفی، مقدار سیلاب از ۵۳ تا ۱۳۷۶ متر مکعب بر ثانیه و برای شرایط رطوبتی متوسط از ۳۳۰ تا ۲۳۹۵ متر مکعب بر ثانیه در تغییر است. لذا توجه به عدم قطعیت‌ها در مدل‌سازی هیدرولوژیک حائز اهمیت است.

نتایج شبیه‌سازی بارش - رواناب در تداوم ۴ ساعت (احتمال ۵۰٪)، که بیشترین دبی اوج را نسبت به سایر تداوم‌های بارش تولید کرد، در مقایسه با نتایج تحلیل فراوانی (توزیع جنرال پارتون) در دوره‌های بازگشت ۵ سال و بالاتر از آن کمتر از نتایج تحلیل فراوانی بود؛ به طوری که برای دوره‌های بازگشت ۵، ۱۰، ۲۵، ۱۰۰ و ۲۰۰ سال، به ترتیب، ۱۲/۲، ۳۶/۱، ۱۰۰ و ۲۵/۴ و ۲۶/۹ درصد از نتایج روشن

فراآنی کمتر است. نتایج شبیه‌سازی بارش - رواناب در مقایسه با نتایج تحلیل فراوانی (پس از حذف بارش و سیلاب پرت) مطابقت مناسب‌تری با توزیع جنرال پارتون نسبت به توزیع لوگ پیرسون نوع سه دارد. اختلاف نتایج توزیع‌های احتمالاتی مذکور با یکدیگر در دوره‌های بازگشت بالا نقش و اهمیت انتخاب مناسب توزیع آماری را بارزتر می‌کند. عدم انتخاب توزیع آماری مناسب اتخاذ تصمیم مطلوب جهت سیلاب طراحی را با دشواری روبرو می‌سازد.

نتایج شبیه‌سازی بارش-رواناب در تداوم ۴ ساعت (احتمال ۵۰٪) در مقایسه با نتایج تحلیل فراوانی (توزیع جنرال پارتون) در دوره بازگشت دو سال معادل ۲۴/۲ درصد افزایش و در دوره‌های بازگشت ۵، ۱۰، ۲۵، ۱۰۰ و ۲۰۰ سال، به ترتیب، ۱۲/۲، ۳۶/۱، ۲۴/۸، ۲۶/۹ و ۳۰/۴ درصد از نتایج روشن تحلیل فراوانی آماری کمتر است. این میزان تفاوت در قیاس با نتایج توزیع لوگ پیرسون تیپ سه در دوره بازگشت دو سال معادل ۲۹ درصد افزایش و در مورد سایر دوره‌های بازگشت فوق، به ترتیب، ۱۵/۷، ۴۶/۳، ۵۰/۲، ۵۶/۵ و ۶۳/۶ درصد کمتر است. به نظر می‌رسد توزیع لوگ پیرسون نوع سوم توزیع مناسبی برای حوضه مورد تحقیق نباشد.

## نتیجه گیری

در این تحقیق، تحلیل فراوانی سیل با روش شبیه‌سازی بارش-رواناب و محاسبه سیلاب طراحی، با درنظر گرفتن عدم قطعیت توزیع مکانی و شرایط رطوبتی خاک حوضه، با استفاده از روش مونت کارلو، مورد توجه قرار گرفت. نتایج سیلاب‌های طراحی با دوره‌های بازگشت مختلف حاصل از شبیه‌سازی با ترکیب‌های مختلفی از عمق بارش، توزیع مکانی بارش در سطح حوضه، و شرایط رطوبتی خاک حوضه، به منزله ورودی مدل، با نتایج حاصل از تحلیل فراوانی آماری دبی اوج لحظه‌ای ایستگاه هیدرومتری تنگ راه مقایسه شد و نتایج زیر به دست آمد:

تأثیر داده پرت در نتایج تحلیل فراوانی سیلاب و همچنین تحلیل فراوانی بارش قابل توجه است. نتایج تحلیل فراوانی سیلاب در حالت بدون حذف PMF داده پرت میزان سیلاب را بیش از مقدار منطقه نشان داد؛ که پذیرفتی نیست. در تحلیل فراوانی بارش نیز، پس از حذف بارش پرت، مقدار ۳۶/۶ بارش برای دوره‌های بازگشت ۲۰۰ سال معادل ۳۱/۸ درصد و برای دوره بازگشت ۱۰۰ سال معادل درصد نسبت به تحلیل فراوانی قبل از حذف بارش پرت کاهش دارد.

## REFERENCES

- Alizadeh, A. (2006), *Principles of Applied Hydrology*, (19th ed.), Ferdowsi University Of Mashhad, (In Farsi).
- Beran, M. A. (1973), Estimation of design floods and the problem of equating the probability of rainfall and runoff, *Symposium on the Design of Water Resources Projects with Inadequate Data*, Madrid, Spain, 33-50.
- Bloschl, G. and Sivapalan. M. (1997), Process controls on flood frequency, 2, Runoff generation, Storm properties and the return period, Centre for Water Research Environmental Dynamics Report, ED 1159 MS. *Department of Civil Engineering*, The University of Western Australia.
- Bobee, B. Cavadias, G. Ashkar, F. Bernier, J. and Rasmussen, P. (1993), Towards a systematic approach to comparing distributions used in flood frequency analysis, *Journal of Hydrology*, 142 (1-4), 121-136.
- Durrans, S. R. (1995), Total probability methods for problems in flood frequency estimation, in statistical and Bayesian Methods in Hydrological Sciences, *Proceedings of the International Conference in Honour of jacques Bernier*, September 11-13 Chapter III. Unesco, Paris.
- Golian, S. Saghabian, B. and Maknoon, R. (2010), Derivation of Probabilistic Thresholds of Spatially Distributed Rainfall for Flood Forecasting, *Water Resources Management*, 24 (13), 3547-3559.
- Griffis, V. W. and Stedinger, J. R. (2007), Evolution of flood frequency analysis with Bulletin 17, *Journal of Hydrologic Engineering*, 12 (3), 283-297.
- Heidarpour, B. (2007), *Control of instant peak discharge obtained from probability rules by using HEC-HMS rainfall-runoff model*, M. S. thesis, Science and Research Branch, Islamic Azad University, Tehran, Iran (In Farsi).
- Hemady, K. Akhund, A. Behnia, A. and Arab, D. (2007), The role of synchronization of records series on evaluation of flood design (case study: jaareh Dam), *Iran-watershed management science & engineering*, 1 (2), 11-20 (In Farsi).
- Hosking, J. R. M. and Wallis, J. R. M. (1993), Some statistics useful in regional frequency analysis, *Water Resources Research*, 29 (2), 271-281.
- Hosking, J. R. M. and Wallis, J. R. M. (1997), Regional Flood Frequency Analysis: An Approach Based on L-Moments, *Cambridge University Press*, New York, 224 p.
- Laio, F. Di Baldassarre, G. and Montanari, A. (2009), Model selection techniques for the frequency analysis of hydrological extremes, *Water Resources Research*, 45, doi: 10.1029/2007WR00666
- Lang, J. Leibundgut, C. Greenbaum, N. and Schick, A. P. (1999), A noncalibrated rainfall-runoff model for large, arid catchments, *Water Resources Research*, 35 (7), 2161-2172.
- Maskey, S. (2004), *Modeling uncertainty in flood forecasting systems*, Publisher Taylor & Francis, London.
- Moore, A. A. and Palmer, M. A. (2005), Invertebrate biodiversity in agricultural and urban headwater streams: implications for conservation and management, *Ecological Applications*, 15 (4), 1169-1177.
- Muzik, I. (1993), Derived physically based distribution of flood probabilities, Extreme hydrological events (precipitation, flood and droughts), *Proceedings of the Yokohama Symposium*, July 1993, IAHS publ. No. 213, 183-188.
- Onoz, B. and Bayazit, M. (1995), Best-fit distributions of largest available flood samples, *Journal of Hydrology*, 167 (1-4), 195-208.

- Pielke, R. A. Jr. Downton, W. and Barnard Miller, J. Z. (2002), *Flood damage in the United States, 1926–2003 a reanalysis of National Weather Service estimates*, UCAR Boulder.
- Rahman, A. Weinmann, P. E. Hoang, T. M. T. and Laurenson, E. M. (2002), Monte Carlo Simulation of frequency curves from rainfall, *Journal of Hydrology*, 256 ( 3-4), 196-210.
- Rao, A. R. and Hamed, K. H. (2000), *Flood Frequency Analysis*, CRC Press. Boca Raton, 350.
- Singh, V. P. (1998), *Entropy-Based Parameter Estimation in Hydrology*, Kluwer Academic Publishers, Boston, 365.
- Water Research Institute of the Ministry of Energy of Iran, (2009), *Gorganroud River Basin Flood Warning System*.